

日本鋼管(株) 正 小泉幹男
建設省土木研究所 正栗林栄一
正羽立 隆幸

1) まえがき

最近、沈埋トンネルの可撓繰手が耐震に有利であるばかりではなく、不整況下や温度変化による变形等を吸収できる為に、施工繰手として用いられているゴムカスケットの可撓性を利用した繰手構造が考案されており、実際に採用されている。また、地盤応答解析および応答変位法による耐震設計に際しては、繰手部の可撓性能を線形バネに近似して評価している。

本報告では、上記のことと踏まえて、繰手部材としてのゴムカスケットならびにゴムカスケットとPCケーブルヒを組合せた場合について、繰手バネを評価した。

2) ゴムカスケットのみの可撓性とバネ評価

ゴムカスケットの動的と静的可撓性の差異は、これまでの実験ではそれ程認められず、ほぼ静的な可撓性能を考えて良いとの結論を得ている。又、圧縮特性ならびにセン断特性については、部分模型実験結果から容易に推定しうると考えられ、ここでは特に曲げ特性について述べる。(座標系は Fig.1 の通りである)

繰手部外周にあるゴムカスケットは、回転角変位 α が与えられると、圧縮量が直線的に与えられ、この圧縮反力による抵抗モーメントが働く。ゴムカスケットの圧縮特性は (Fig.2) に示すように変位(歪)硬化型を示しており、近似的に次式のように表わすことができる。

$$P = \alpha S^\beta \quad (1) \quad \left(\begin{array}{l} \alpha, \beta \dots \text{任意定数で実験より求める} \\ P \dots \text{単位長当たりの圧縮力} \quad S \dots \text{圧縮量} \end{array} \right)$$

繰手部に曲げが作用した場合、ある圧縮量 S_0 (例えば、水圧による圧縮量) を基準として圧縮あるいは復元するが、前述のように非線形な圧縮特性を有する為に、繰手部全体の曲げに対する中立軸が中心からずれる。中立軸位置 X は、力の釣り合いより次式によって求められる。(Fig.3)

$$2S_0^{B+1} + BS_0^B + BS_1^B - 2S_1^{B+1} - 2(B+1)S_0^B(B+H) = 0 \quad (2)$$

$$\text{但し } X = (\delta_2 - \delta_1)/\alpha, \quad \delta_1 = \delta_2 - \theta \cdot H$$

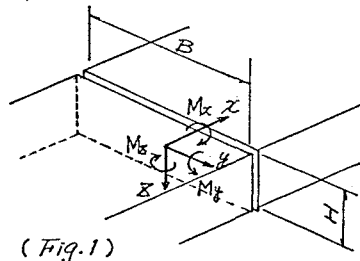
又、この時の曲げモーメント (M) は次式により求まる。

$$M_y = \frac{ZX}{(B+1)\alpha} \{ S_0^{B+1} \cdot X - S_1^{B+1} \cdot (H-X) \} - \frac{ZX}{(B+1)(B+2)\alpha^2} (S_0^{B+2} - S_1^{B+2}) - \alpha S_0^B (2ZH - Z^2) + \alpha B \{ S_0^B X - S_1^B (H-X) \} \quad (3)$$

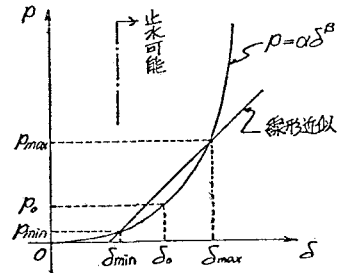
一方、近似的にゴムカスケットの圧縮特性を線形とした場合は、次式のように求められる。

$$M_y^* = \frac{\alpha}{2} H(H+3B) \left\{ \left(S_0 + \frac{H}{2} \alpha \right)^2 - \left(S_0 - \frac{H}{2} \alpha \right)^2 \right\} \quad (4)$$

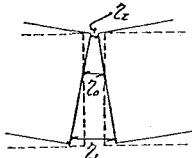
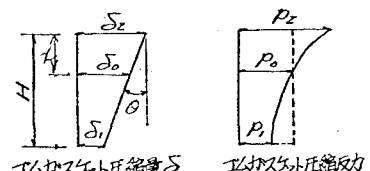
よって、回転バネ定数 K_{eq} は次式により算定できる。



(Fig.1)



(Fig.2) ゴムカスケットの圧縮特性

繰手部変位 X 

(Fig.3)

$$Key = My (\text{又は } M_{gj}) / \theta \quad \dots \dots \dots (5)$$

尚、 $\pm z$ 軸回りの回転バネ定数 K_{xz} も同様にして求められる。

③ ゴムカスケットとPCケーブルの組合せによる可接続手のバネ評価

実験の可接続手構造は、止水性能を損なわないように、ゴムカスケットのみではなく、異種材料（PCケーブル・12鋼板等）の組合せが提案されている。ここでは、近年採用されているPCケーブルとの組合せによる可接続手の可接続性能、特にケーブルの影響の大きい曲げ特性及び回転バネ定数の評価について考える。（Fig. 4）

鍵手部の軸力（ N ）- 相対変位（ ζ ）との関係は（Fig. 5）に示すように、初期設定変位 ζ_0 を中心に圧縮側・引張側で異なる。これは、圧縮に対してPCケーブルは何ら抵抗せず、ゴムカスケットの圧縮反力を抵抗し、又、引張側に対してはPCケーブルの張力を及びゴムカスケットの圧縮反力を影響を与えることを示している。そこで、鍵手部に曲げ変位が与えられた時の回転バネ定数 Key を上記のことと考慮に入れて求める。

鍵手部断面を（Fig. 6）のように簡略化して考査、中立軸位置（ X ）を求める。

$$(2t - \frac{nA_{S2}}{\pi})\zeta^2 + 2\{B_0 t + n(A_{S1} + A_{S2})\}\zeta - f_{B_0 t^2} + nh(2A_{S1} + A_{S2}) = 0 \quad \dots \dots \dots (6)$$

よって、断面乙がモーメント I_y^* は次式のように表わされる。

$$I_y^* = \frac{1}{3}f B Z^3 - 2t(z-t)^3 + nA_{S1}(h-z) + \frac{nA_{S2}}{3\pi}(h-z)^3 \quad \dots \dots \dots (7)$$

回転バネ定数 Key は、次式により求まる。

$$Key = \frac{M_y / \theta_y}{\zeta} = \frac{\theta_y \cdot I_y^* / \delta_y}{\zeta} = \theta_y \cdot I_y^* / t \quad \dots \dots \dots (8)$$

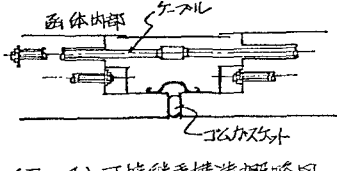
但し θ_y ……ゴムカスケットの単位長さ当たりの圧縮バネ定数

$$\theta_y = k_e / r_y \quad \text{換算係数} \quad \theta_z = \text{ゴムカスケットの圧縮弾性}$$

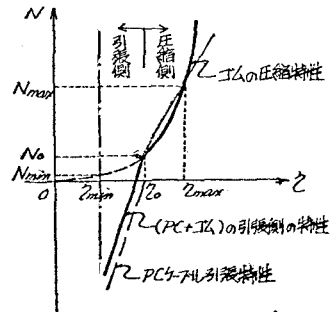
4) まとめ

実験結果及び解析結果より、可接続手部のバネ評価をまとめると次の表のようになる。

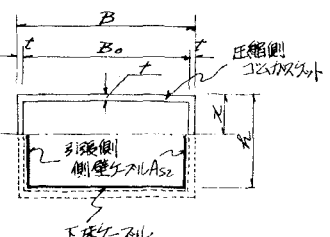
ゴムカスケットのみ	ゴムカスケット + PCケーブル
• 圧縮バネ定数 K_{xz}	• 圧縮バネ定数 ゼン断バネ定数は、左記のゴムのみと同様となる。
$K_{xz} = 2K_y(B+H) = 2\alpha(B+H) \frac{S_{max}^B - S_{min}^B}{S_{max} - S_{min}}$	$K_{xz} = \frac{EA}{L} - 2K_c(b+h)$
• ゼン断バネ定数 K_y, K_b	• 引張バネ定数 K_{zx}
$K_y = 2(K_c H + K_z B), K_b = 2(K_c B + K_z H)$	$K_{zx} = \frac{EA}{L} + 2K_c(b+h)$
• 回転バネ定数 Key, Key	• 回転バネ定数 Key, Key
$Key = \frac{ZQ}{(\beta+1)\delta_y^2} [Z^2(2-H^2) + B^2(H^2)] - \frac{ZQ}{(\beta+1)(B+H)^2} [B^2(2-H^2) + B^2H^2]$ 並びとして $Key = \frac{\alpha}{60}H(H+3B)[(J_0\frac{H}{2})^2 - (J_0\frac{H}{2})^2]$	$Key = \frac{K_c}{3f}f B Z^3 - 2t(z-t)^3 + \frac{K_c}{f}A_{S1}(h-z)^3 + \frac{K_c}{3f}A_{S2}(h-z)^3$



(Fig. 4) 可接続手構造概略図



(Fig. 5) PC+ゴムの軸力荷重特性



(Fig. 6) 簡略化した断面

K_y ……ゴムカスケットの単位長さ当たりの圧縮バネ定数

K_c ……ゴムカスケットとPCケーブル組合せの場合の引張側のバネ定数

K_z ……ゴムカスケットの単位長さ当たりの横セシ昂バネ定数

E ……PCケーブルのヤング率

A ……PCケーブル 純断面積

L ……PCケーブル長

尚、実験結果及び計算例については、当日発表する予定である。